

FIG. 1A.

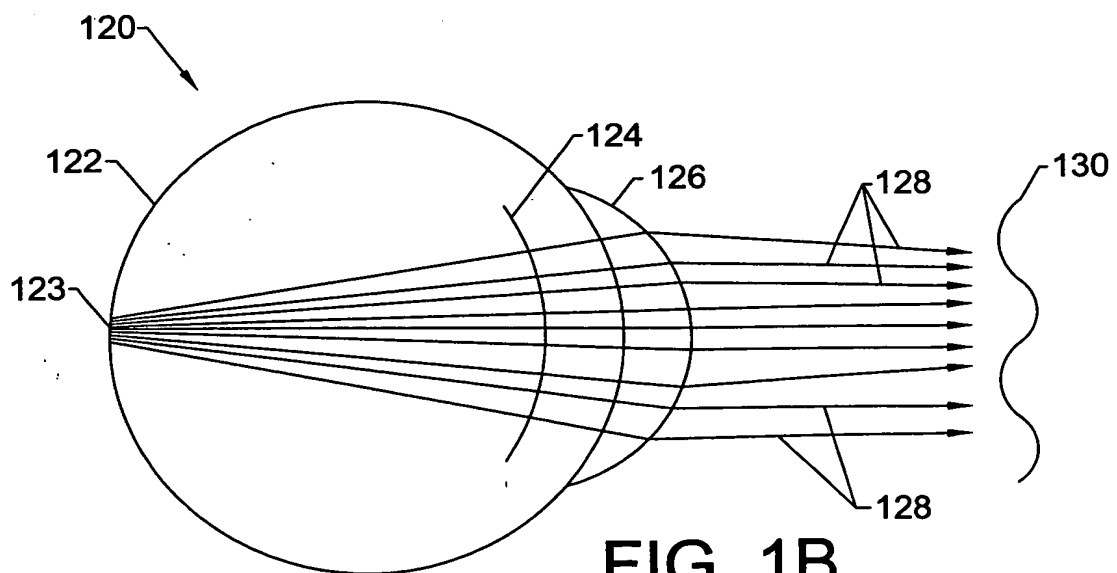
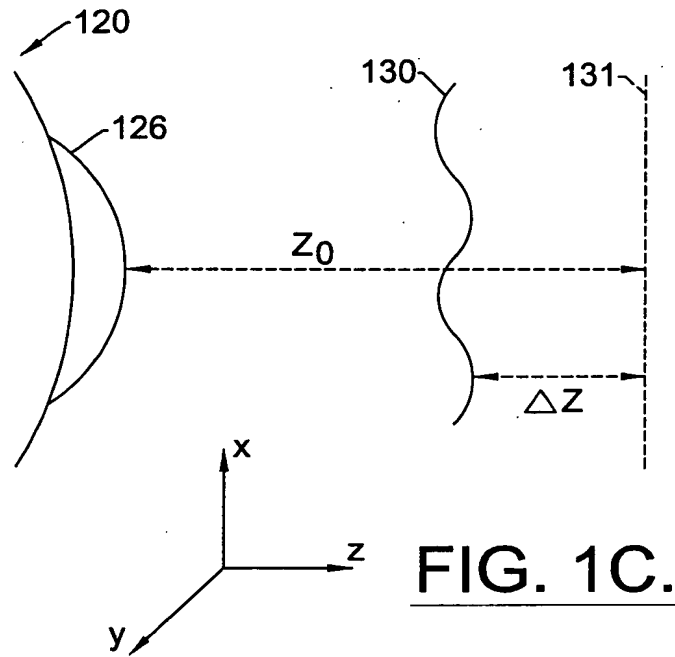
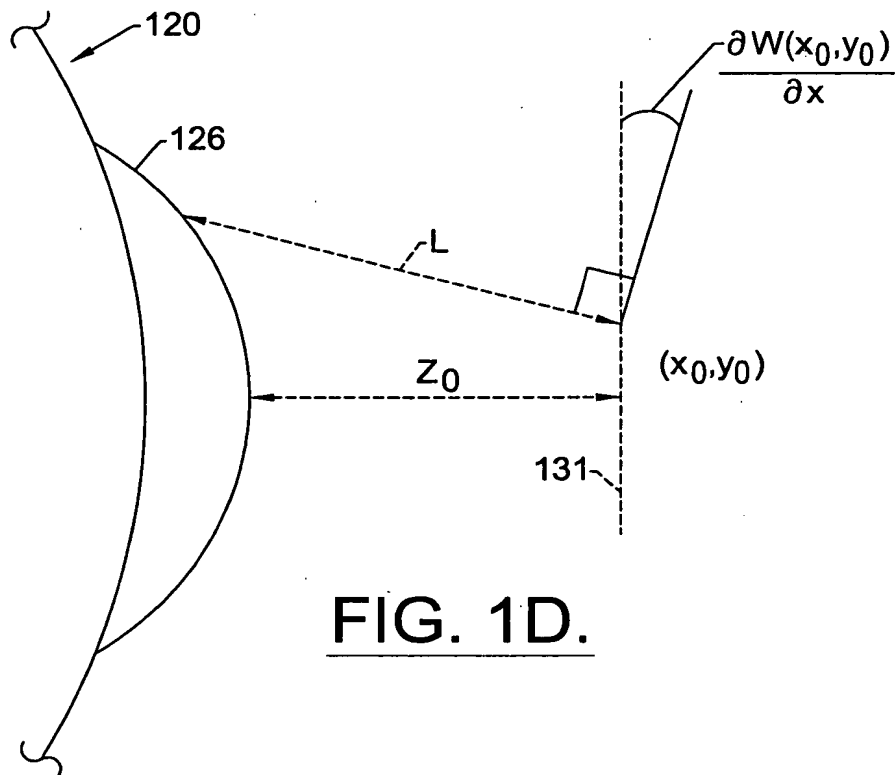


FIG. 1B.

FIG. 1C.

FIG. 1D.

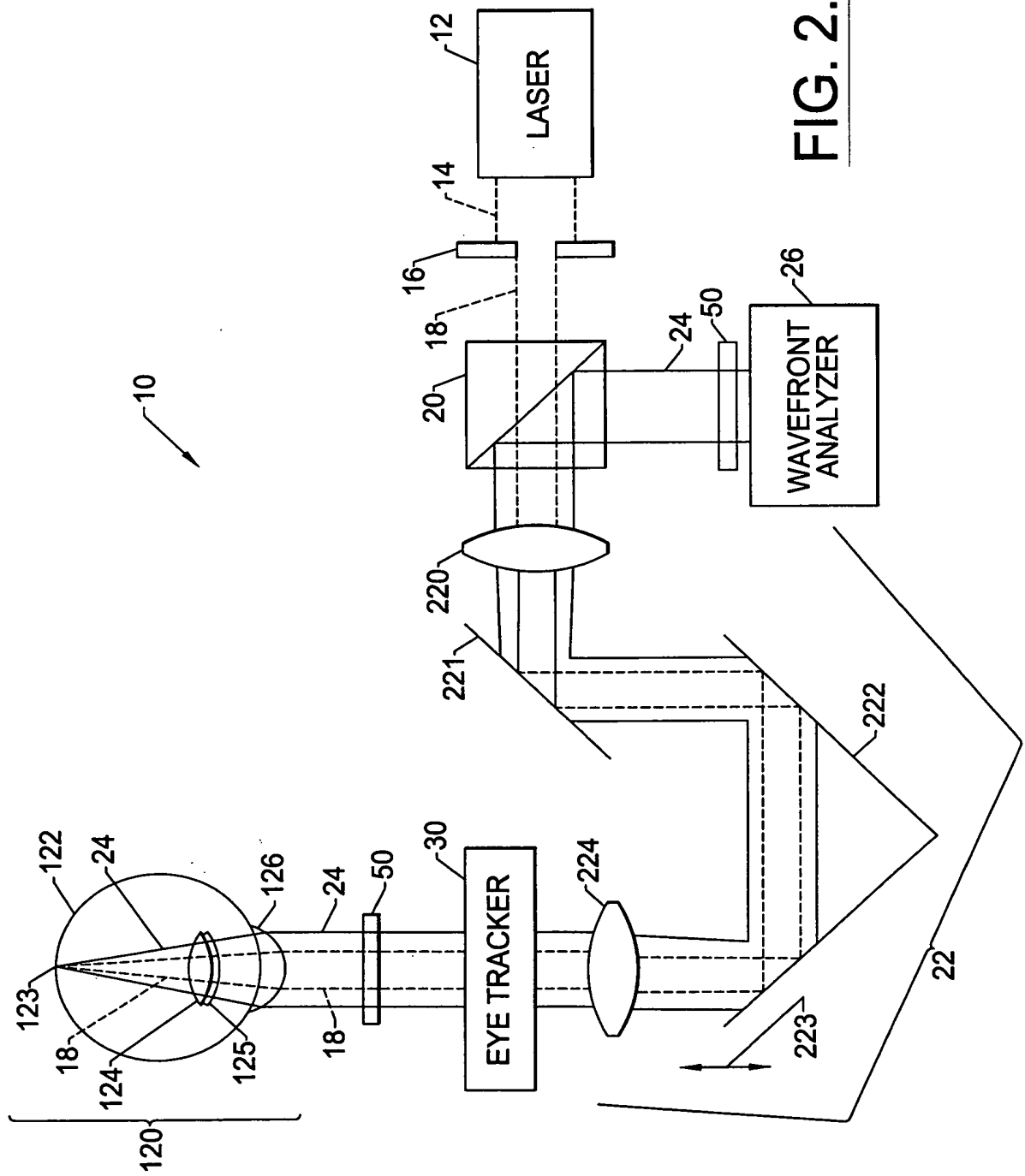
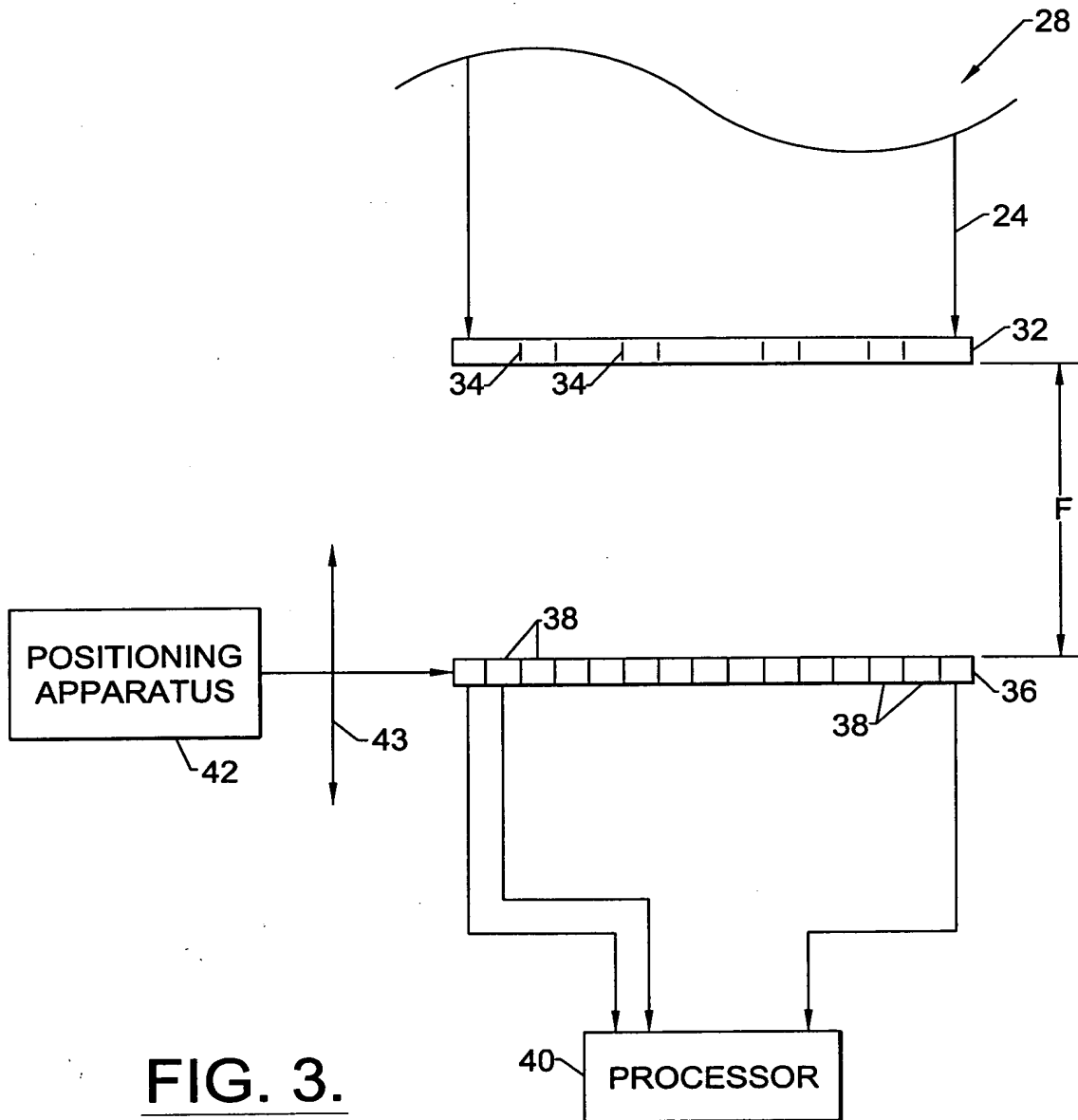
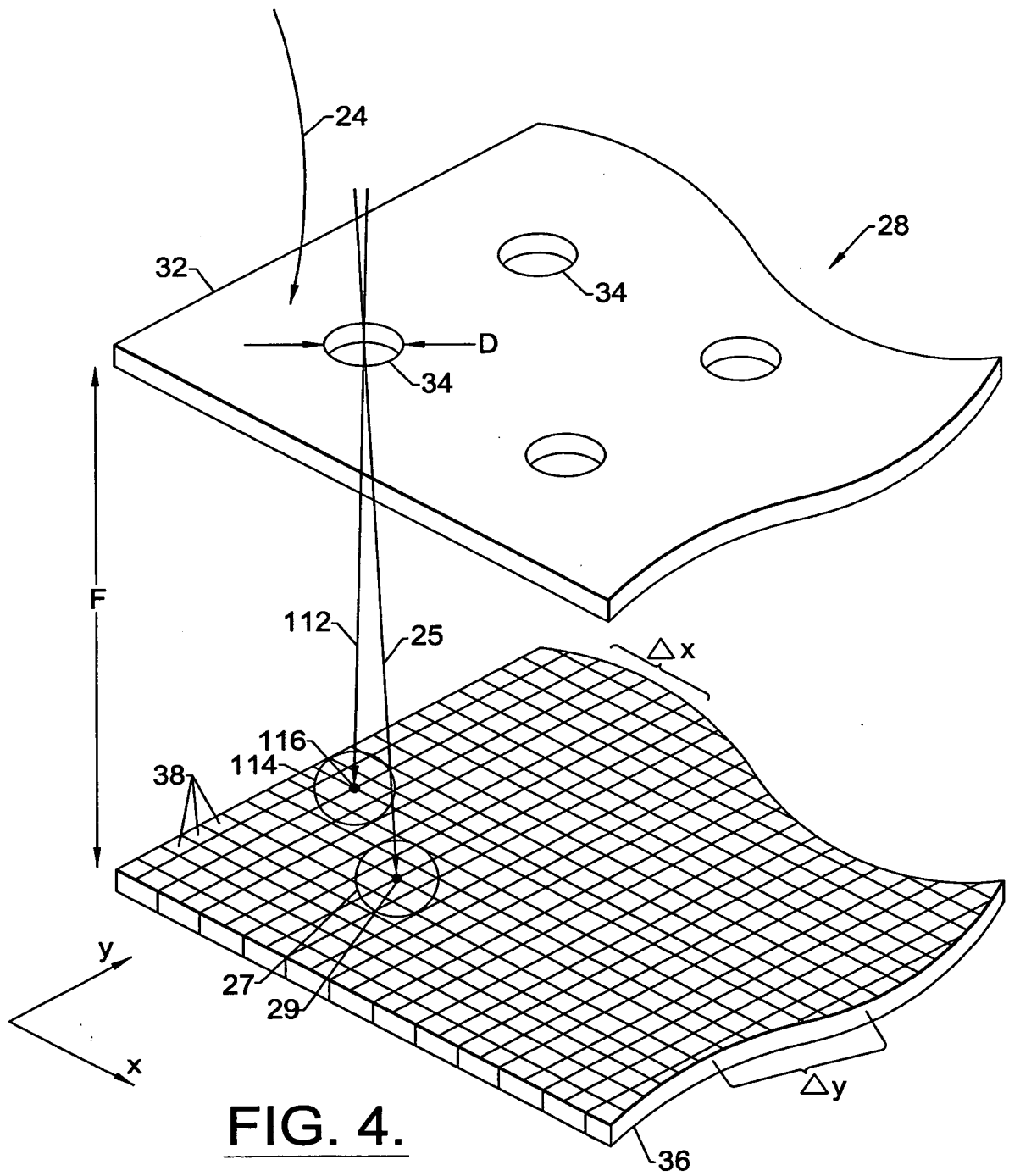


FIG. 2.





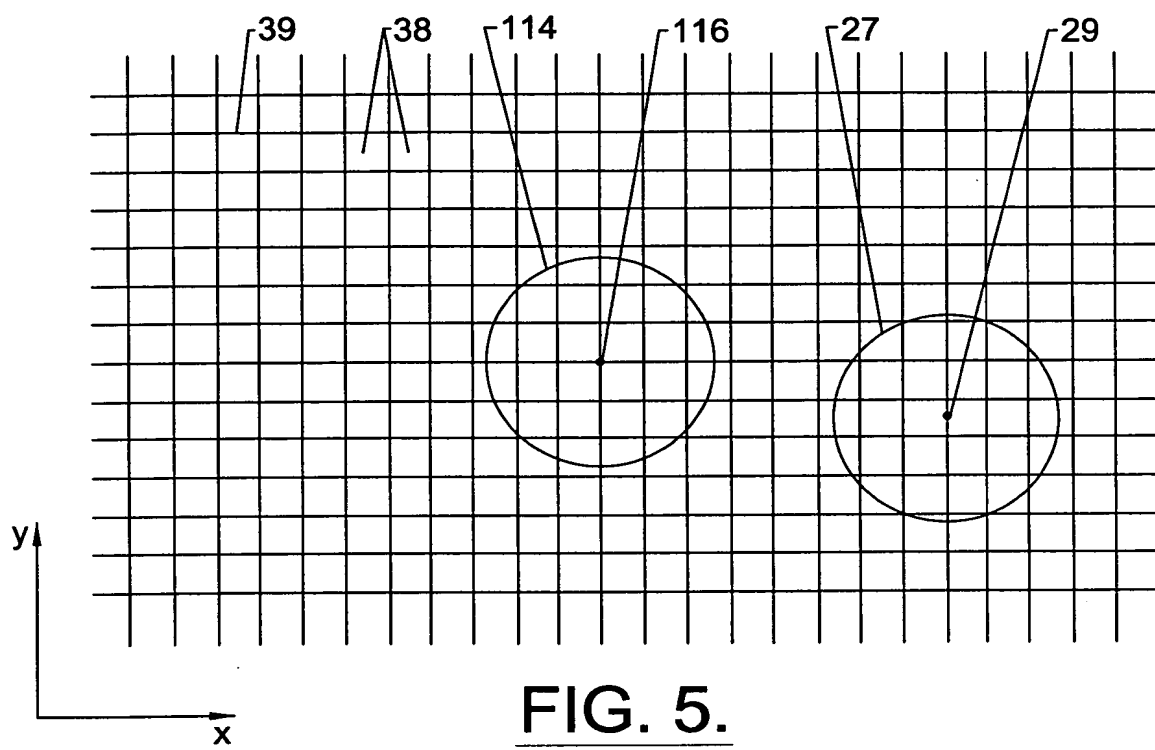
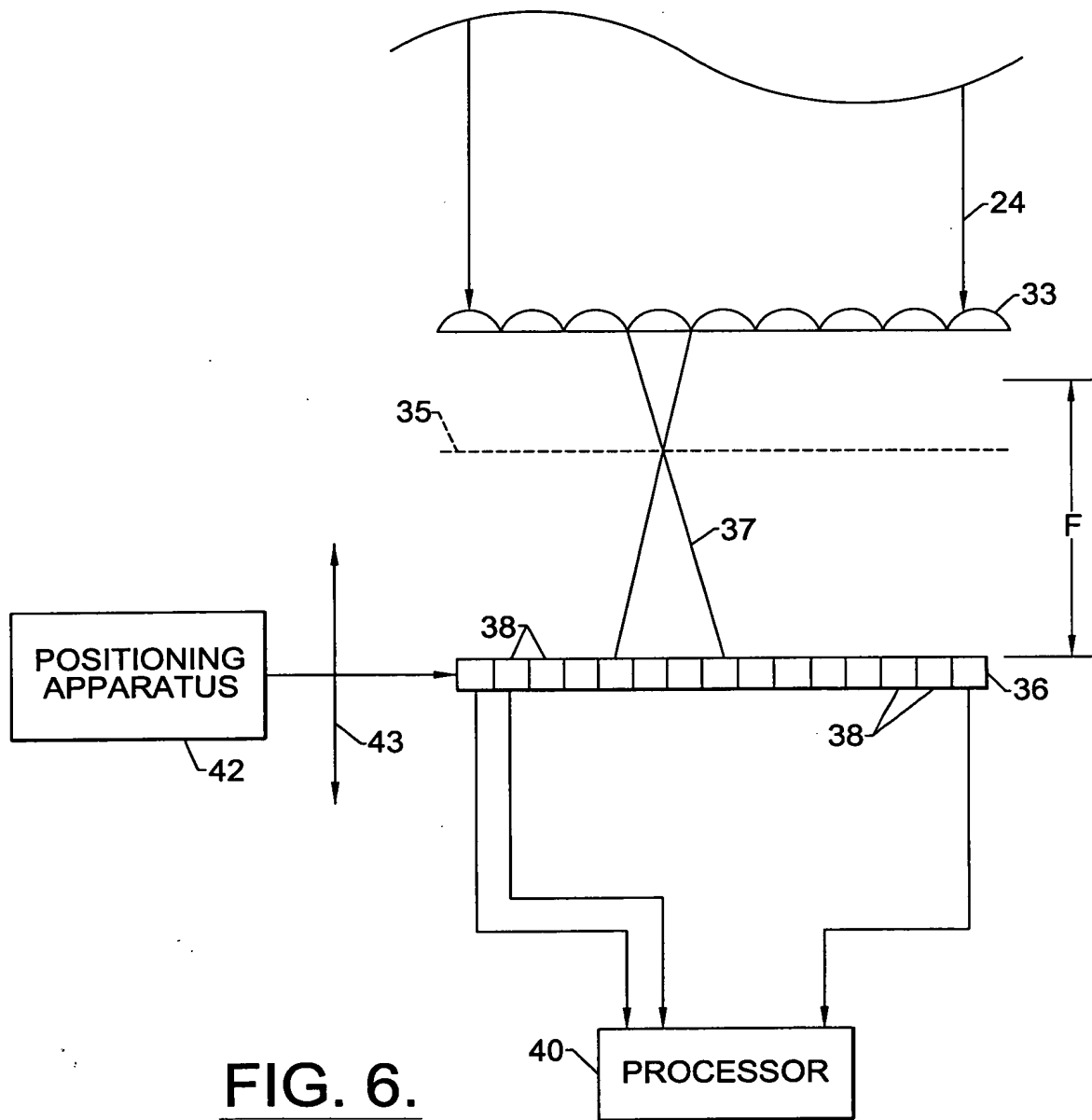
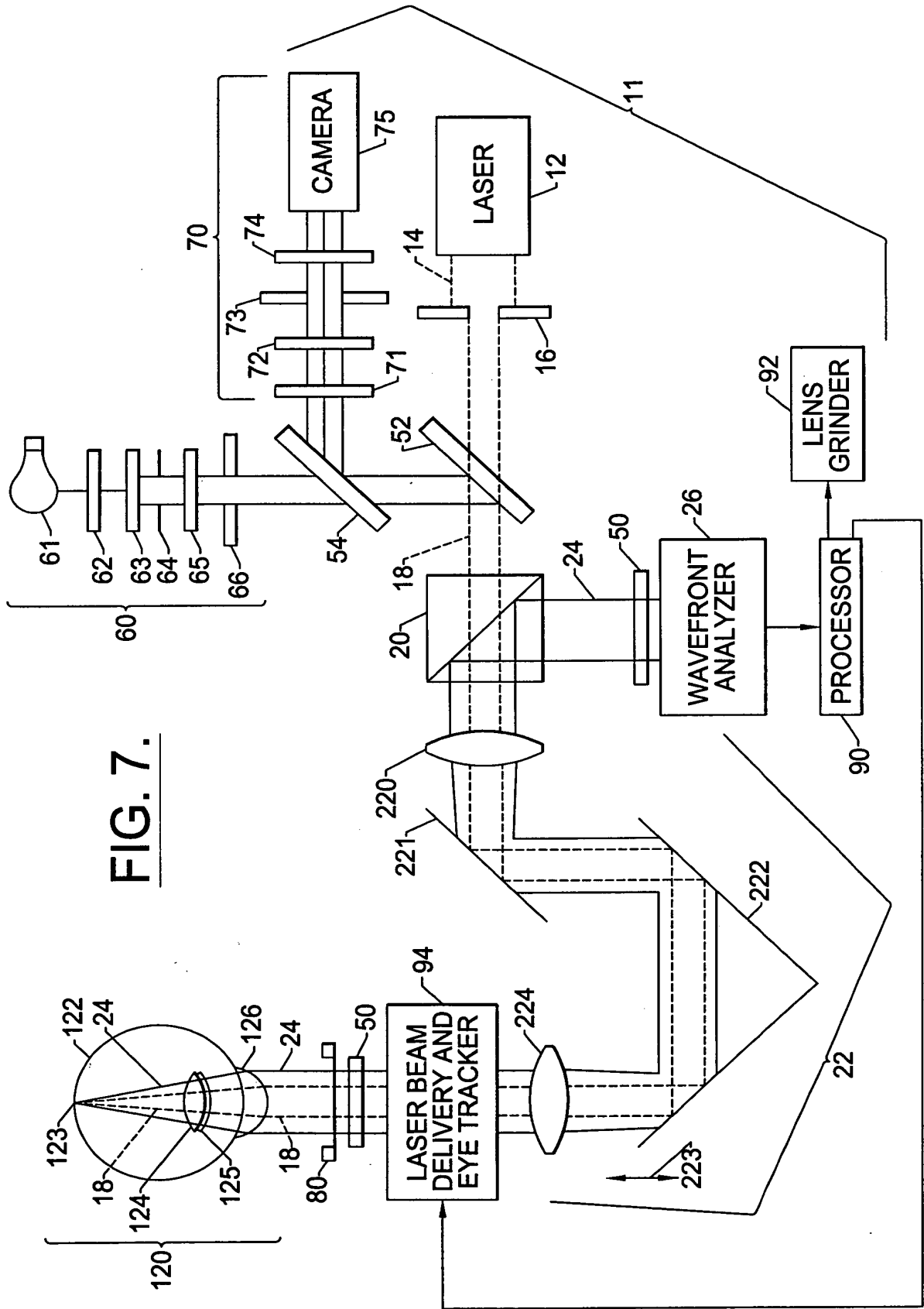
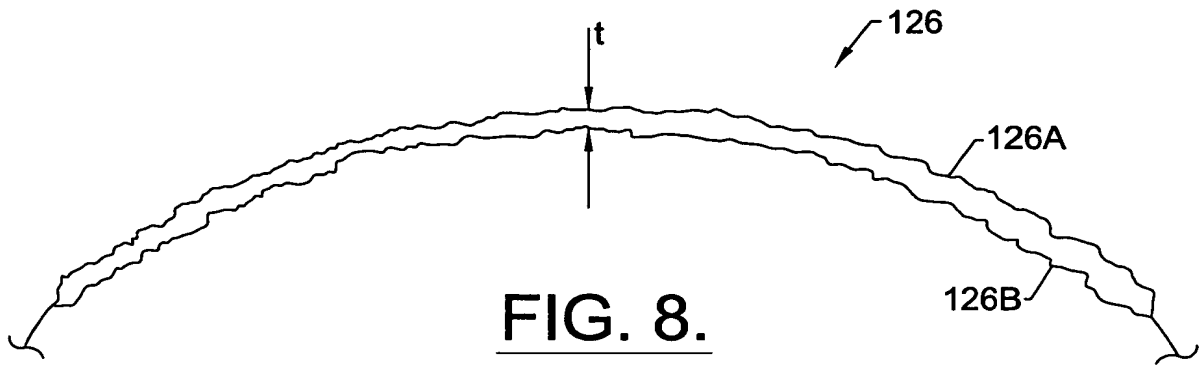


FIG. 5.









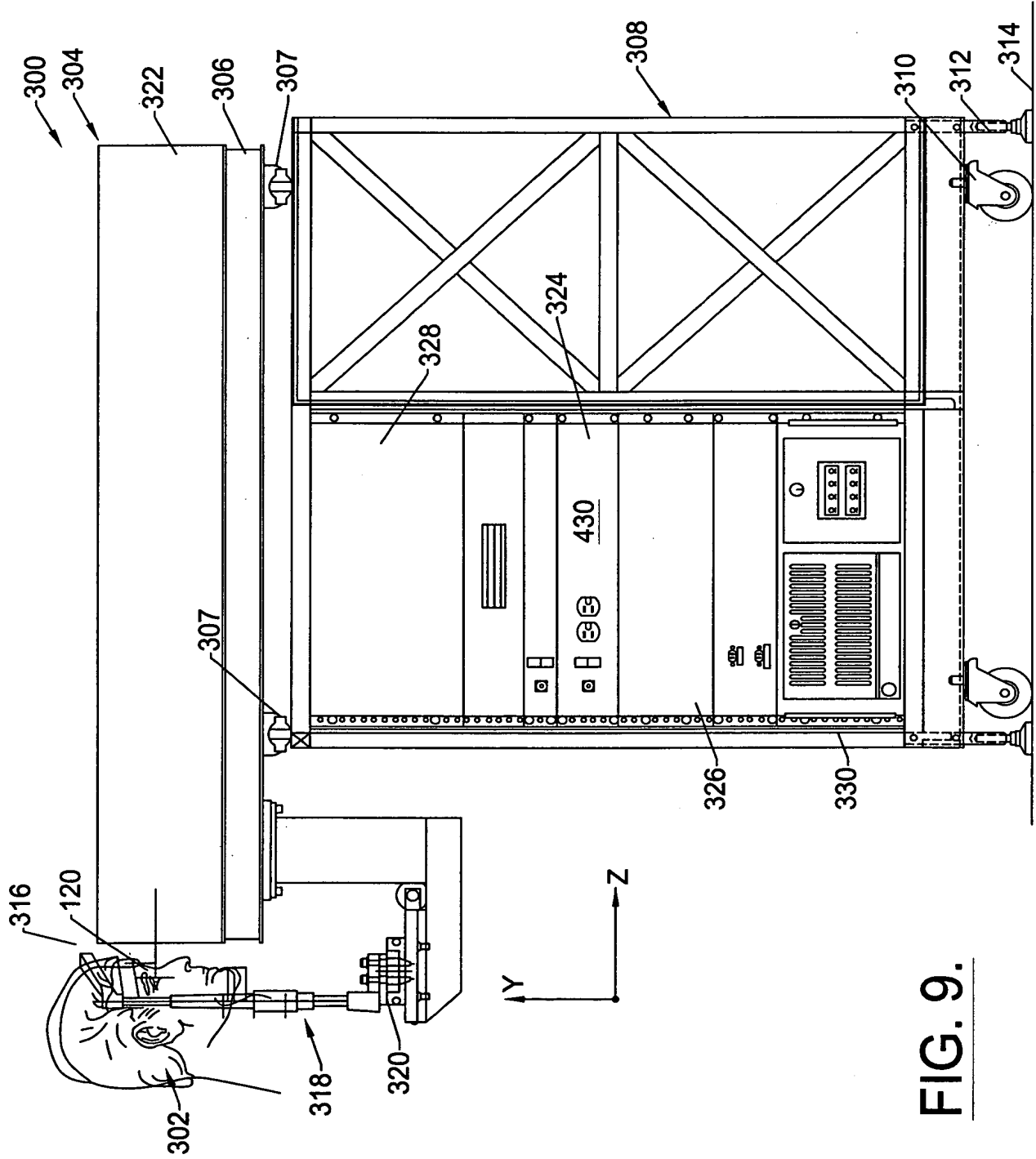


FIG. 9.

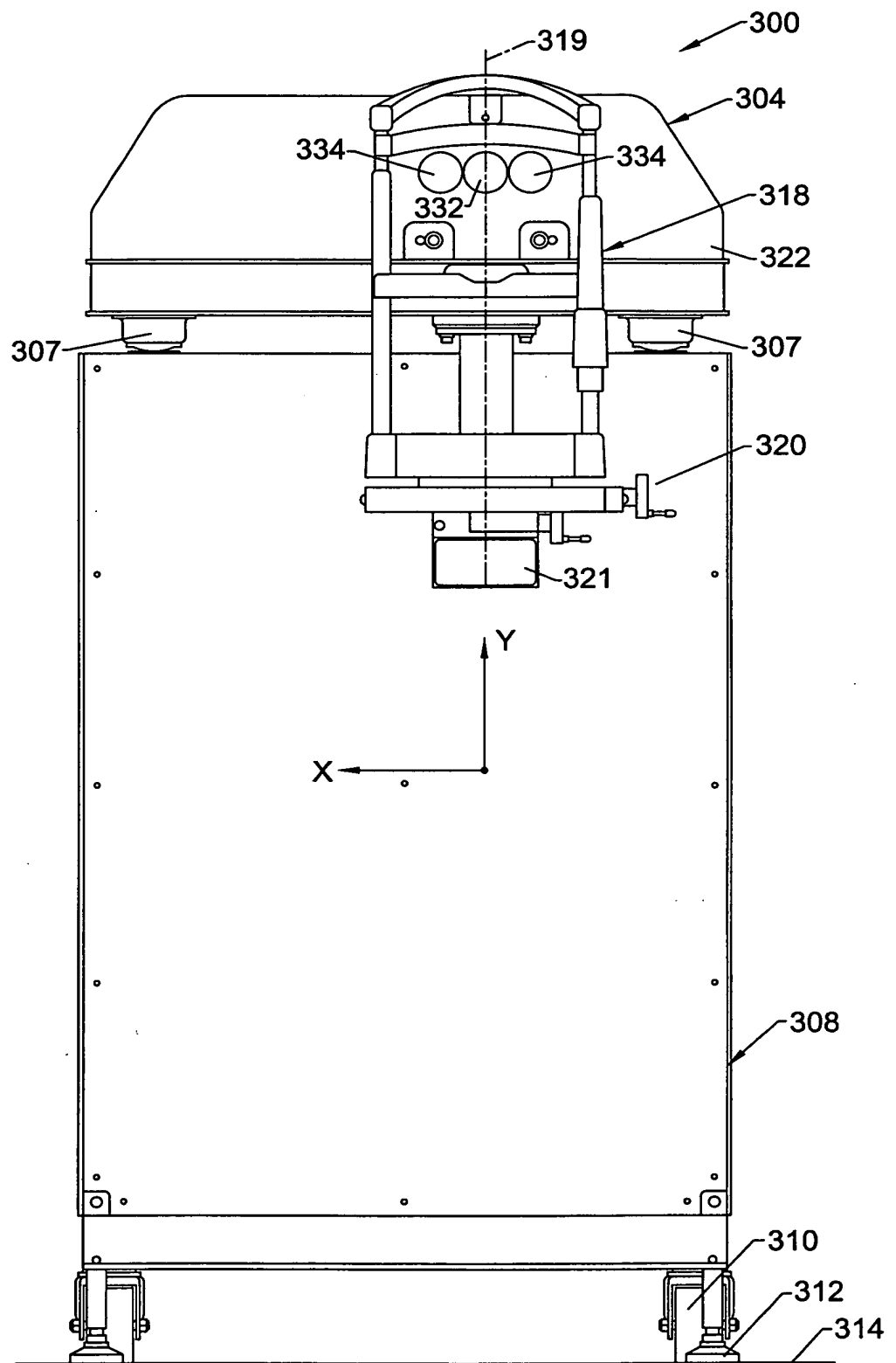


FIG. 10.

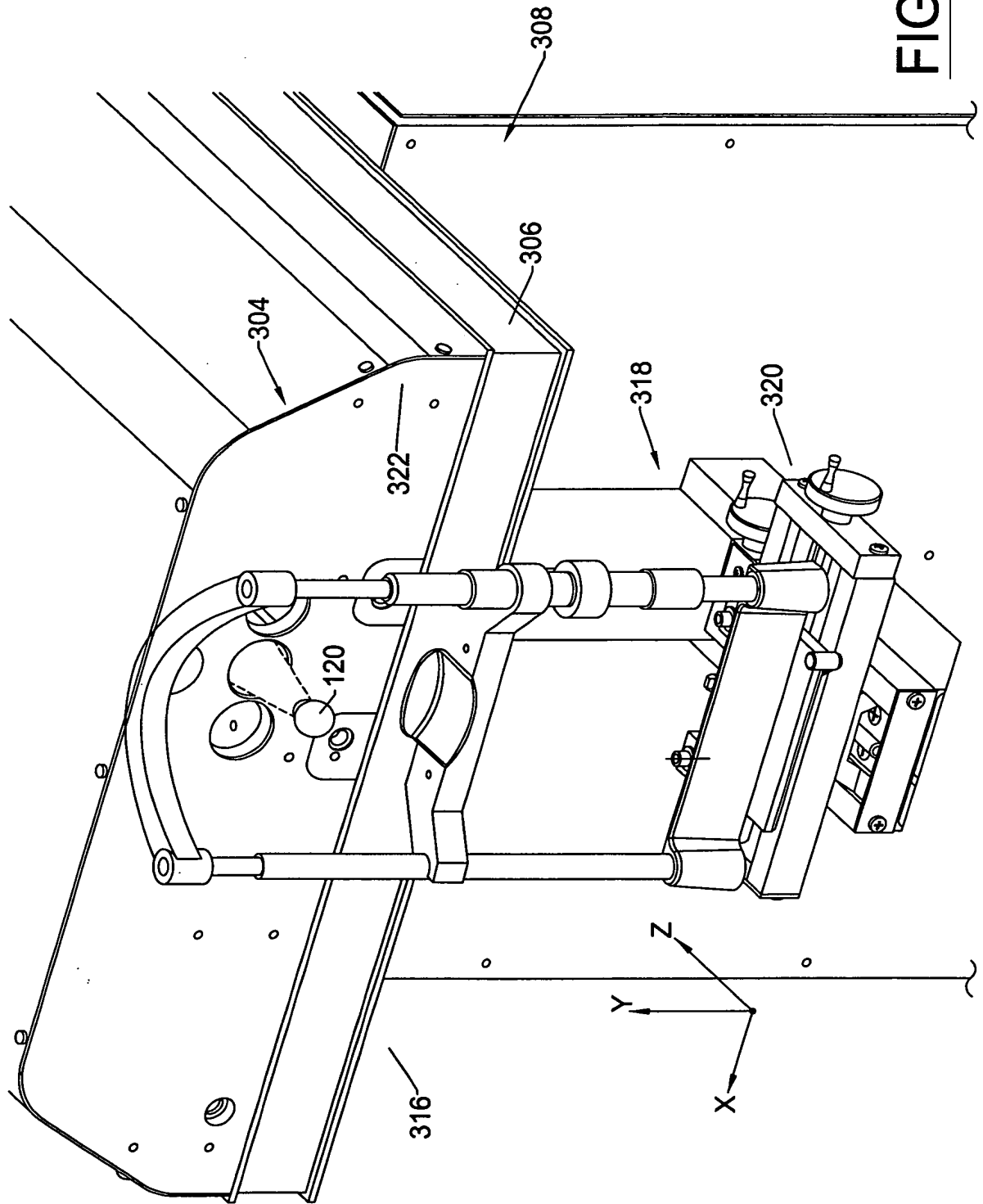


FIG. 11.

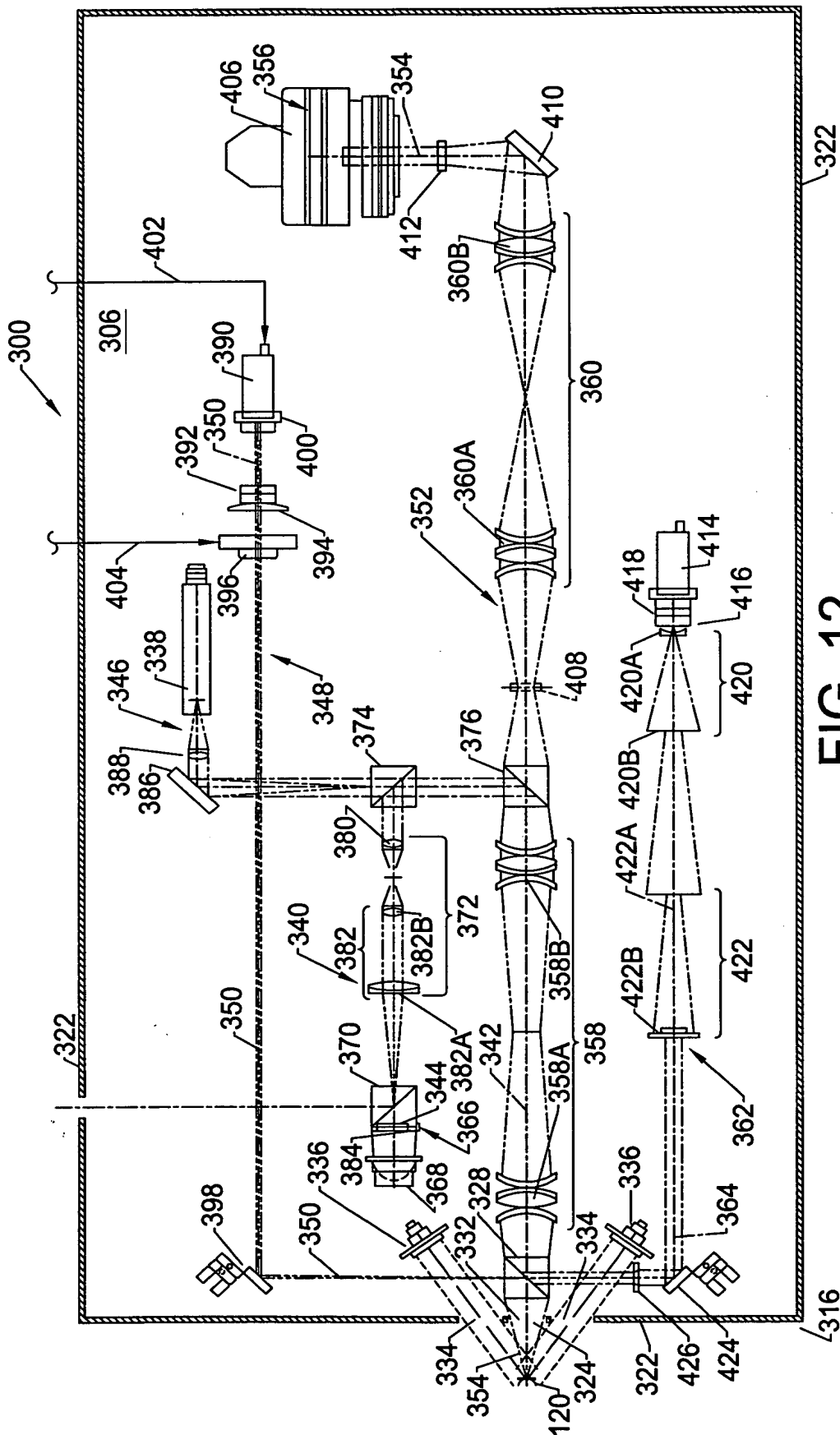


FIG. 12.

FOCUSING 26F5H260

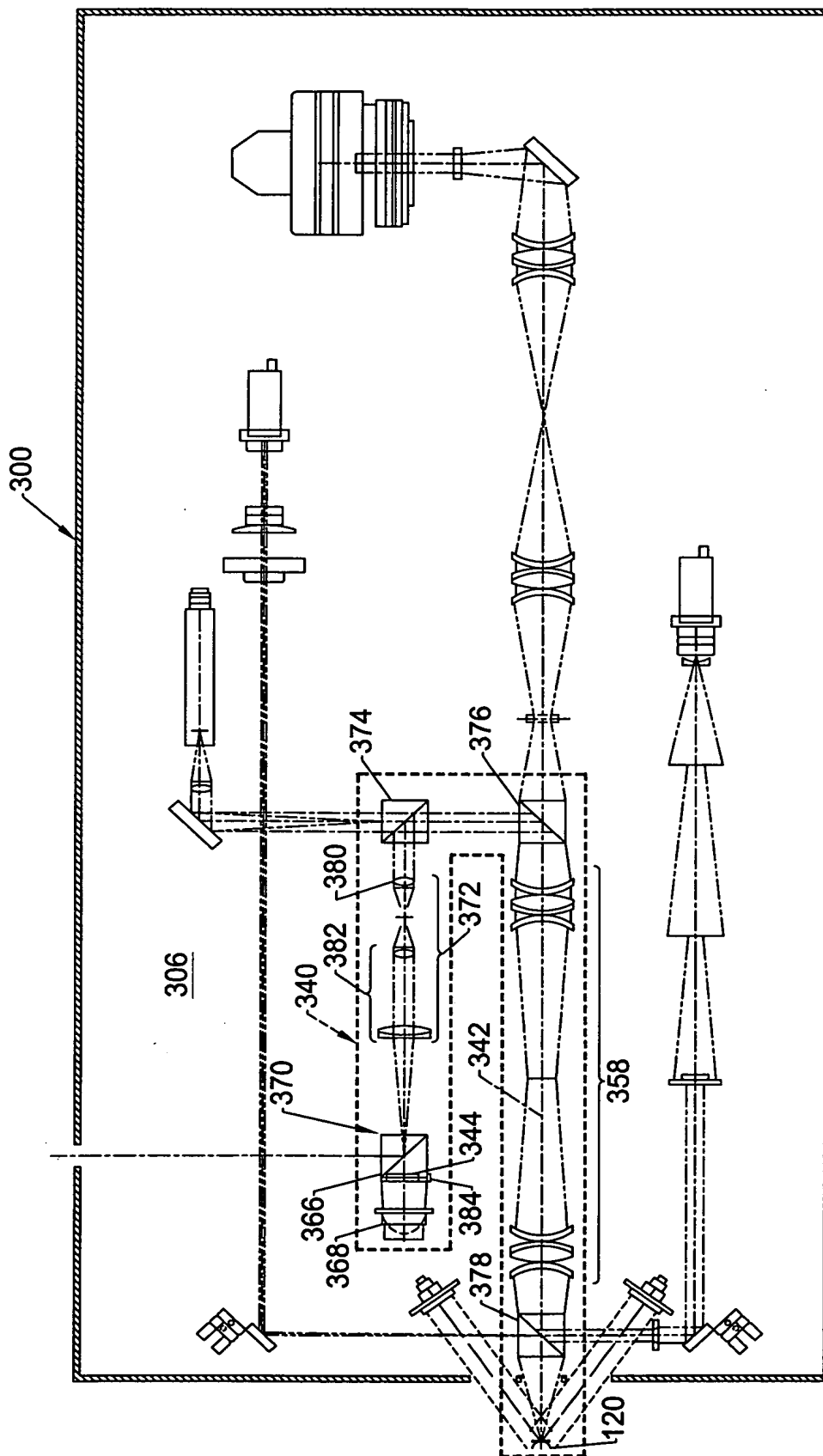


FIG. 12A.

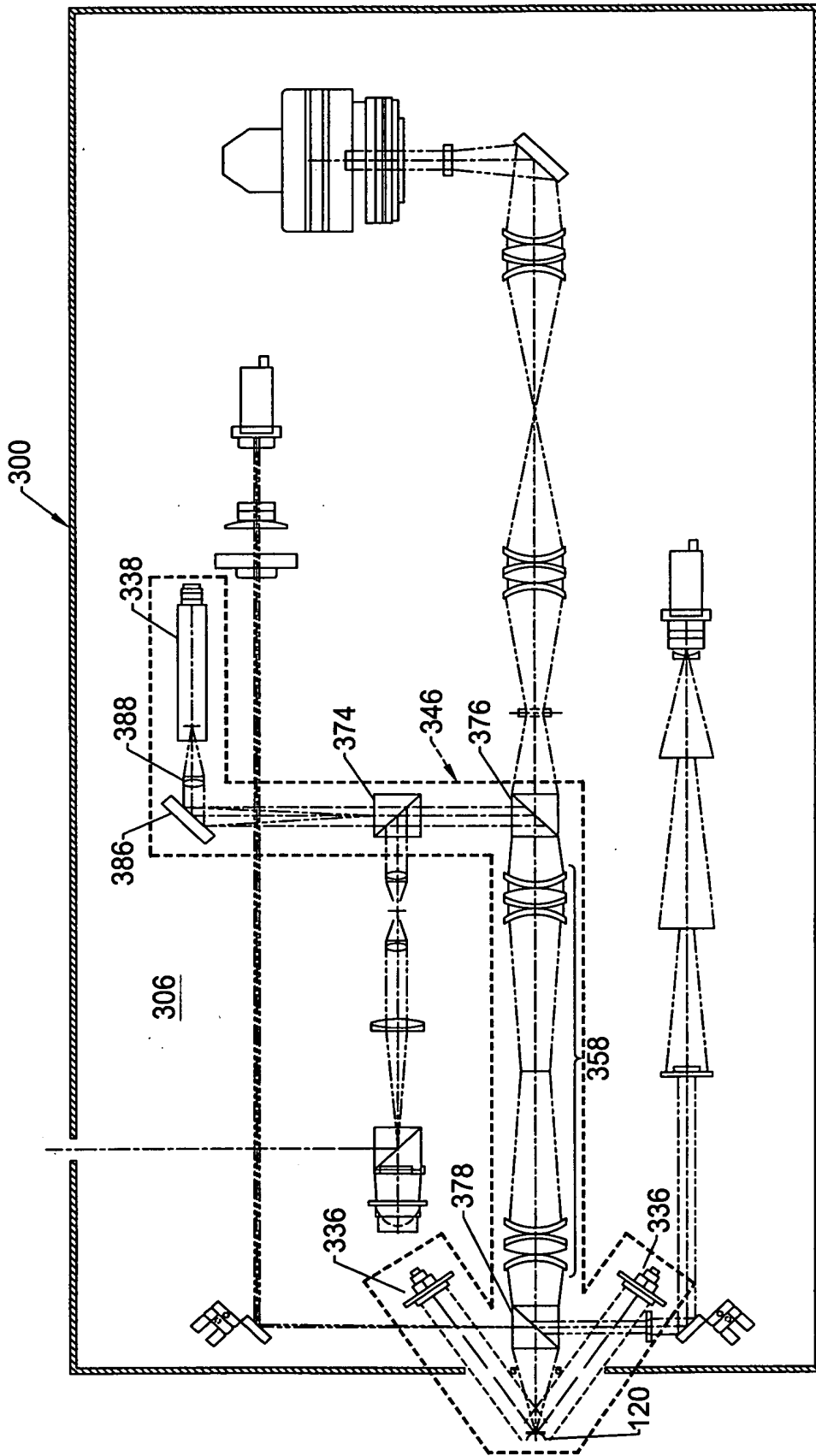


FIG. 12B.



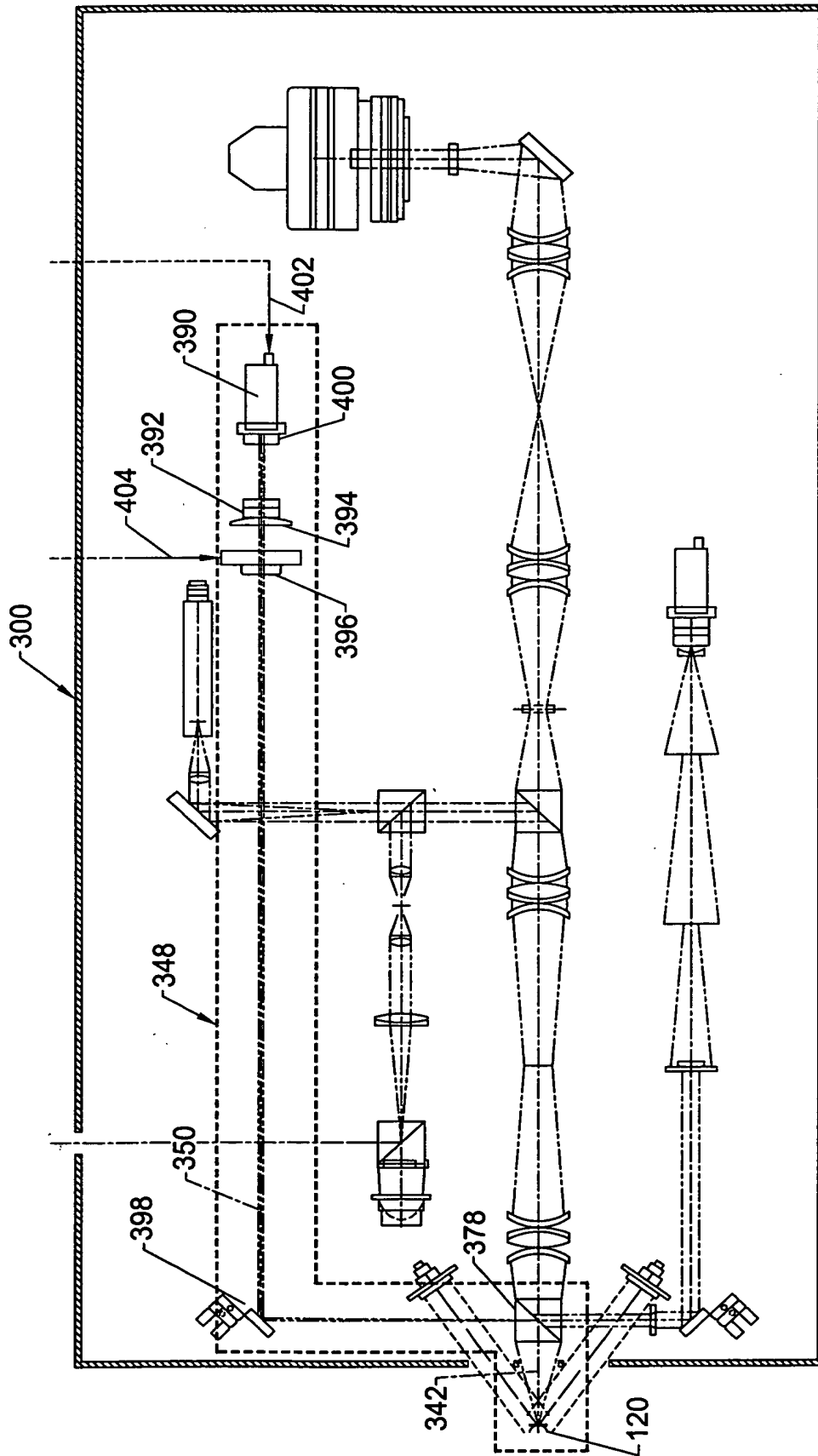


FIG. 12C.

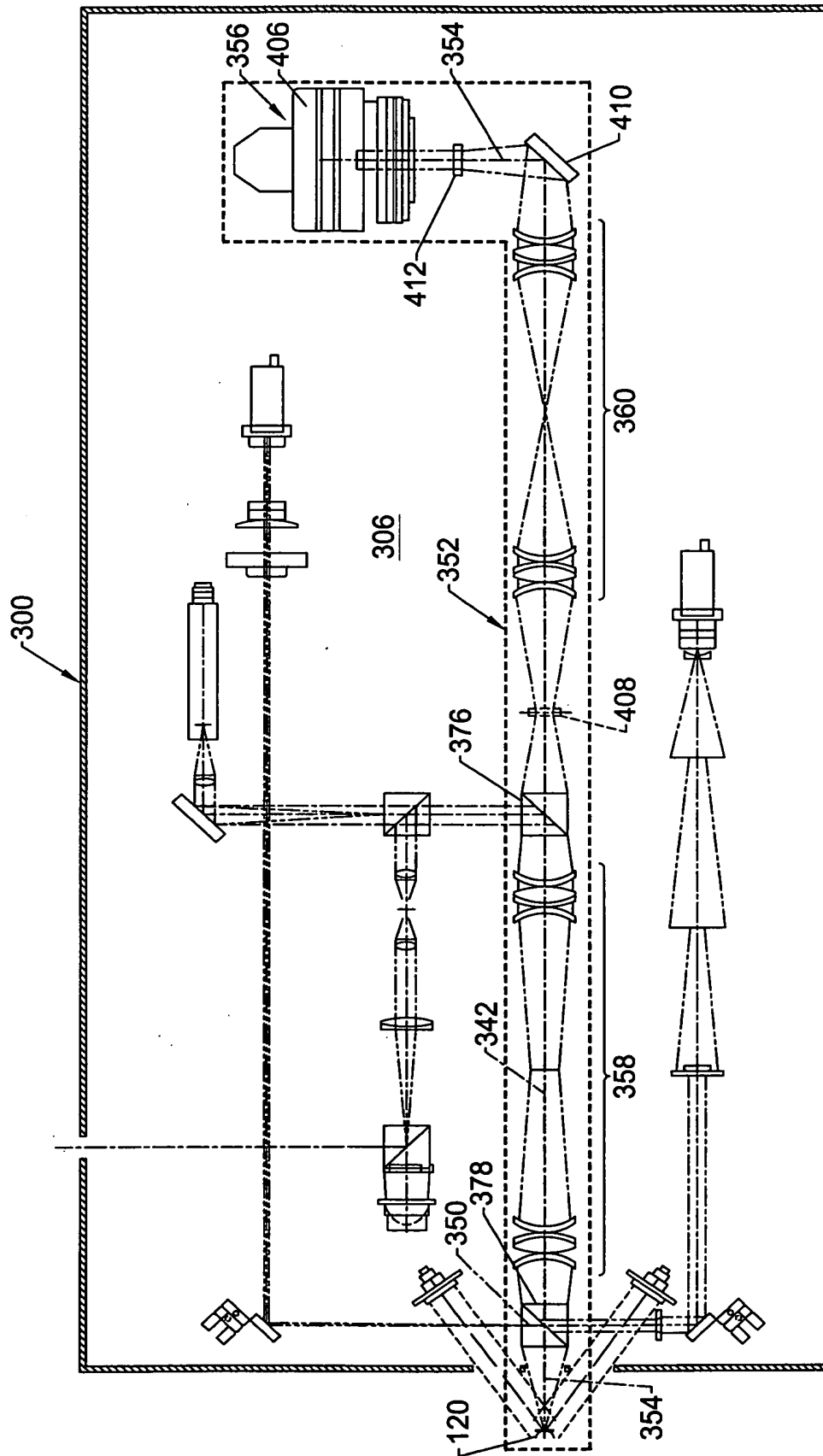


FIG. 12D.

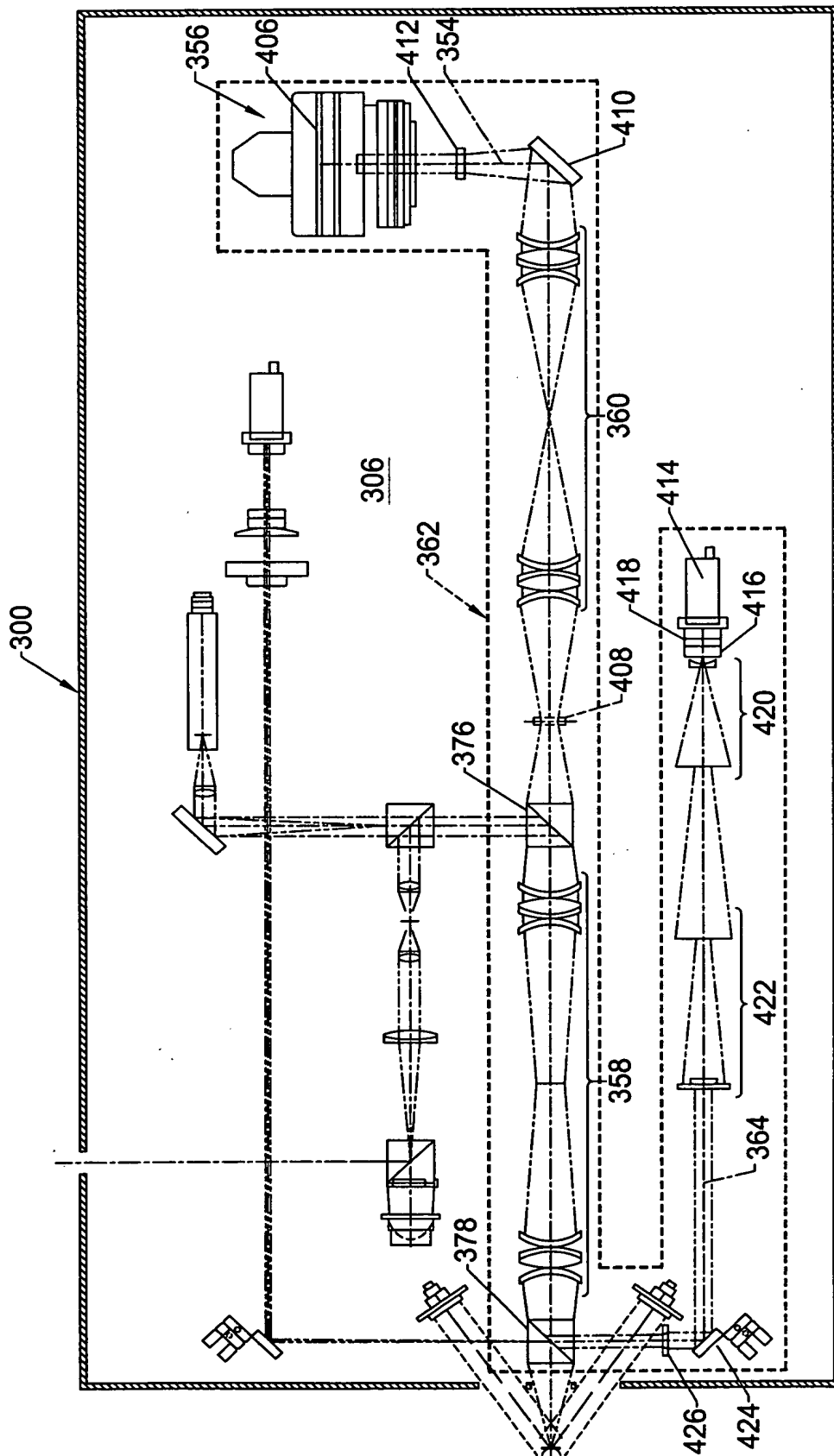
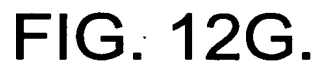


FIG. 12E.



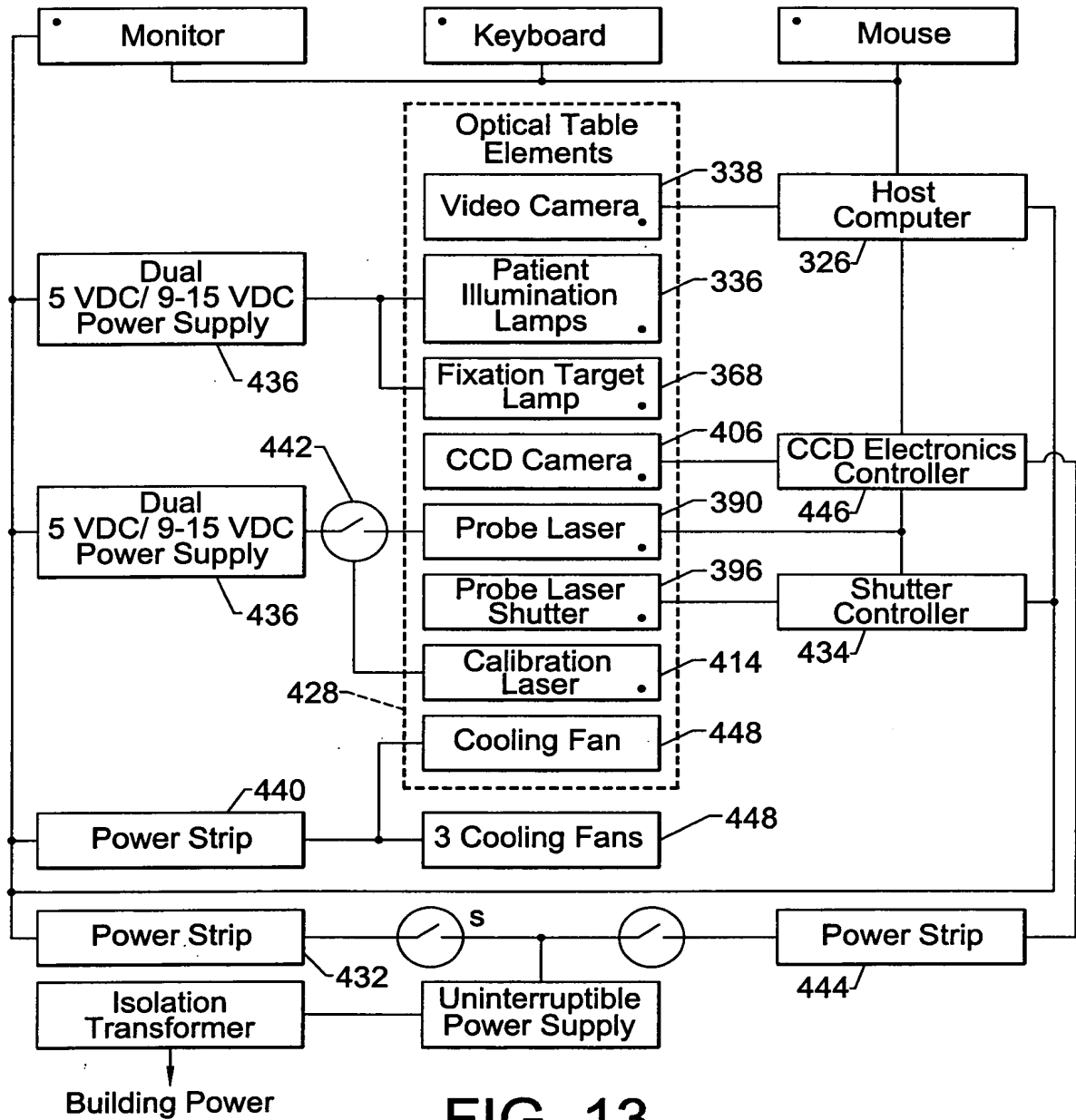


FIG. 13.

0945192.050701

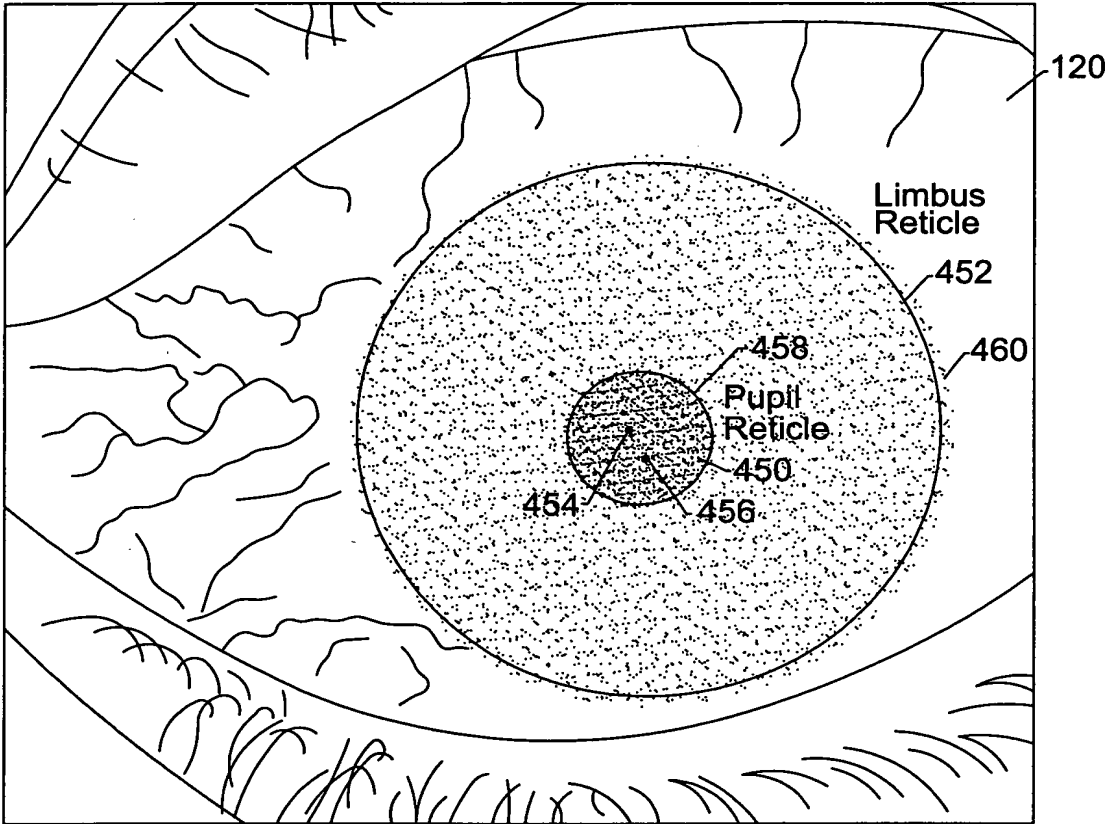
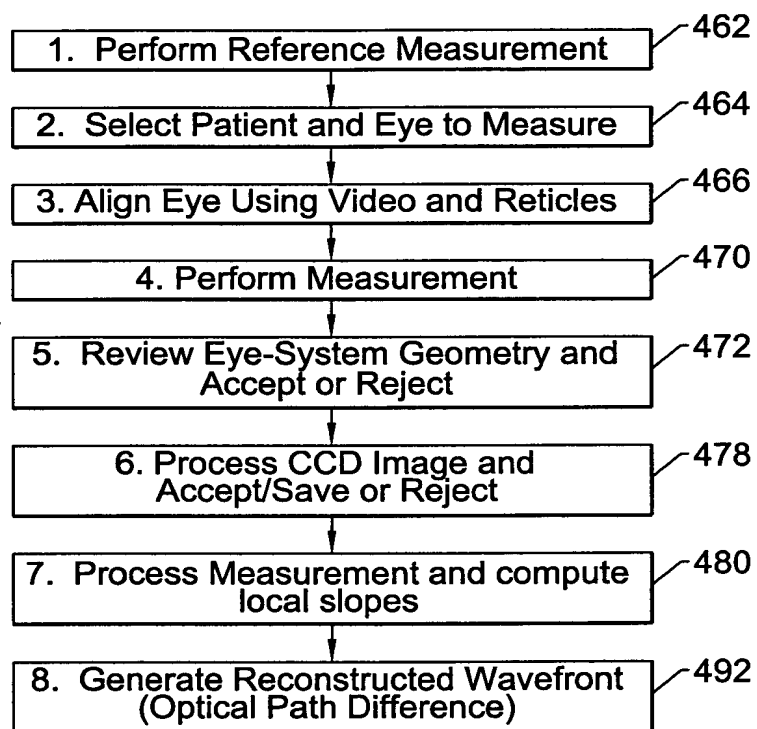


FIG. 14.

**FIG. 15.**

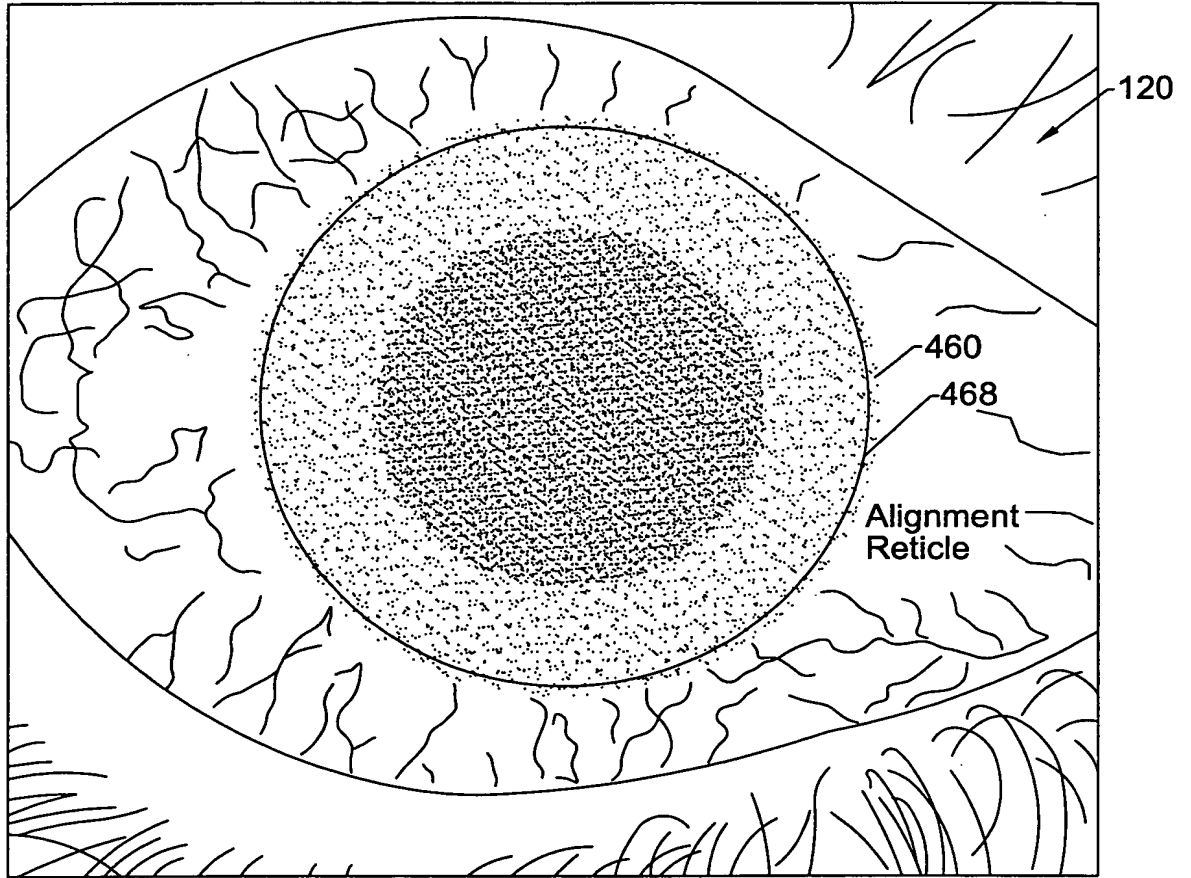


FIG. 16.



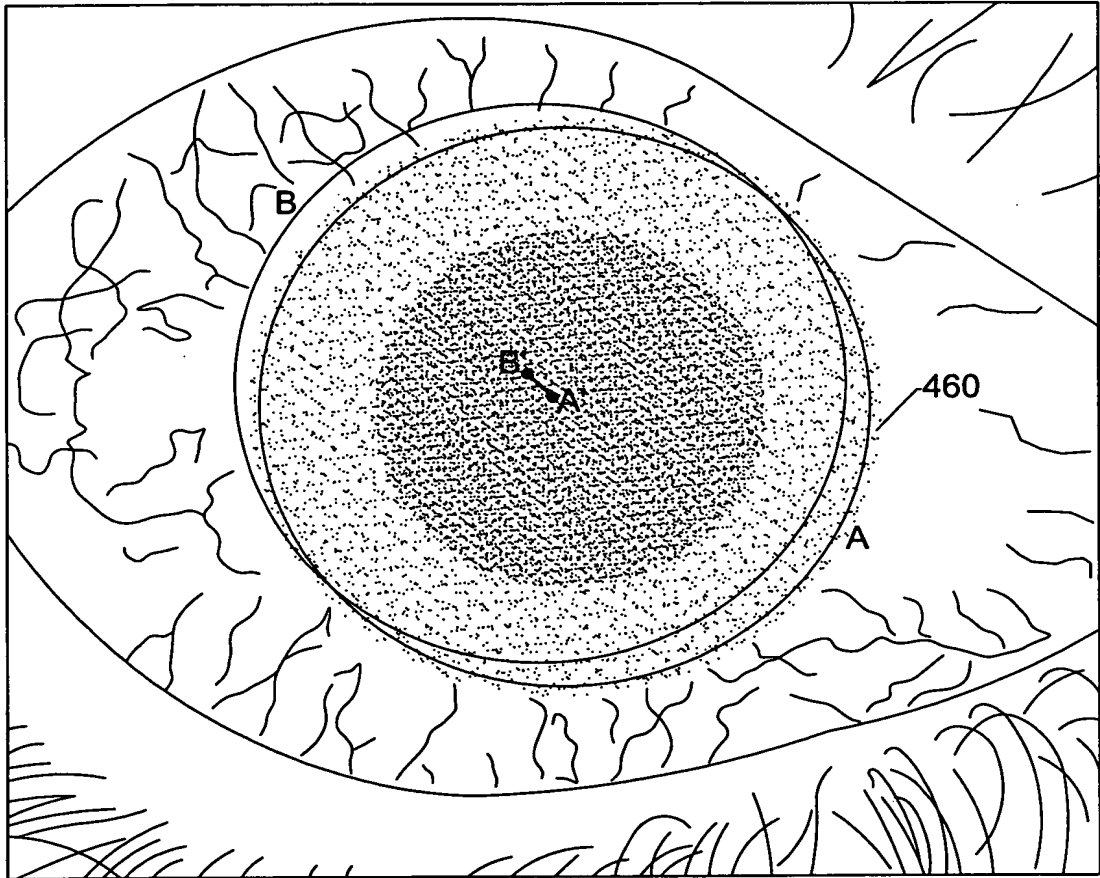


FIG. 17.

09745192.050701  
FOZ050" 26T5H260

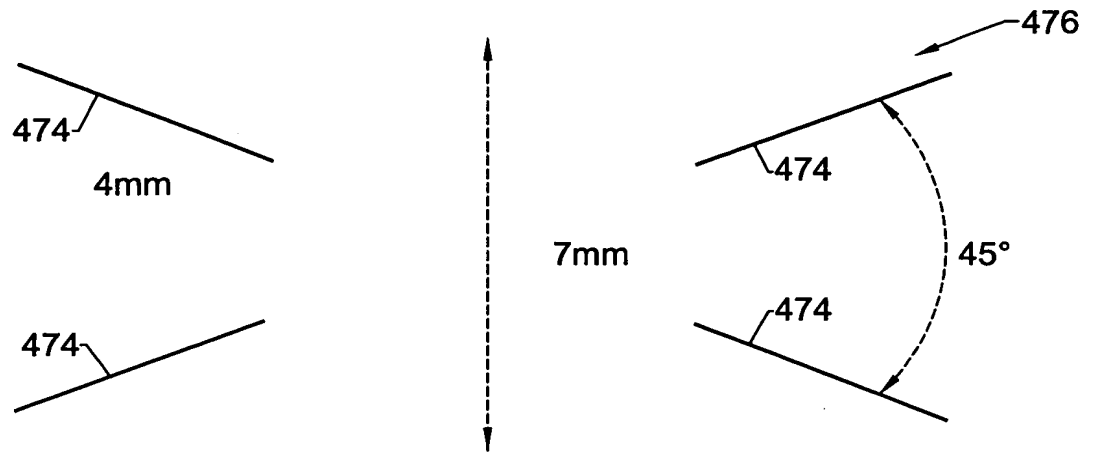


FIG. 18.

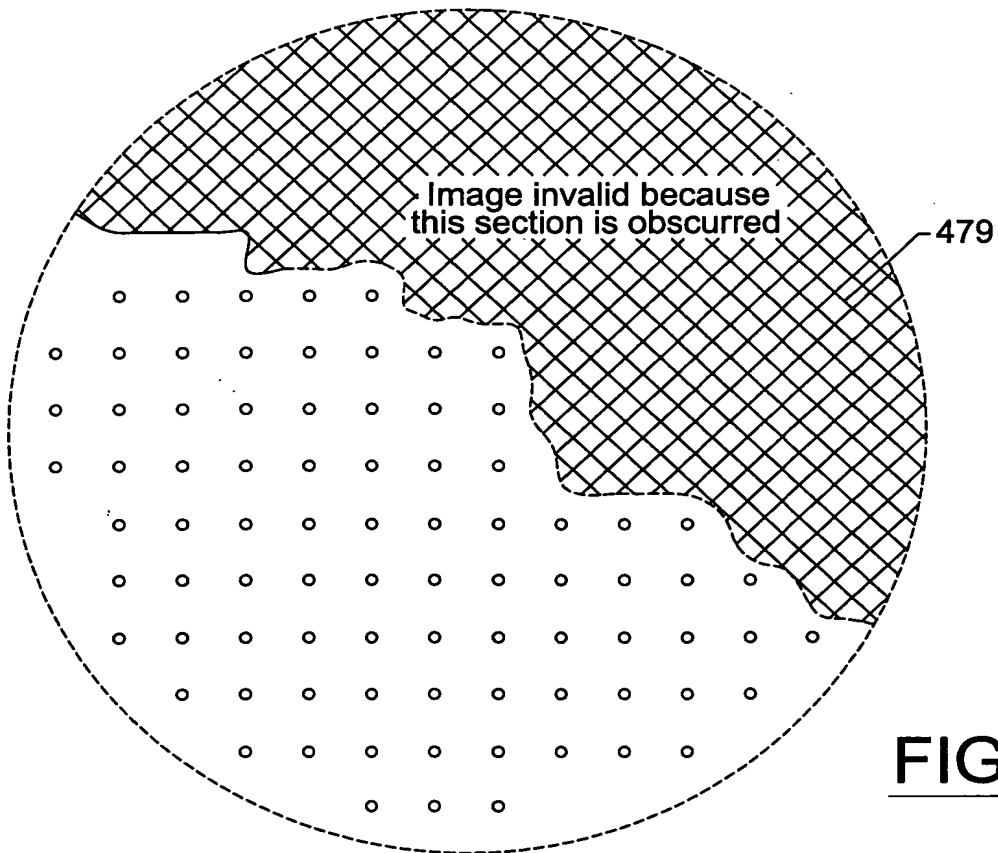


FIG. 19.

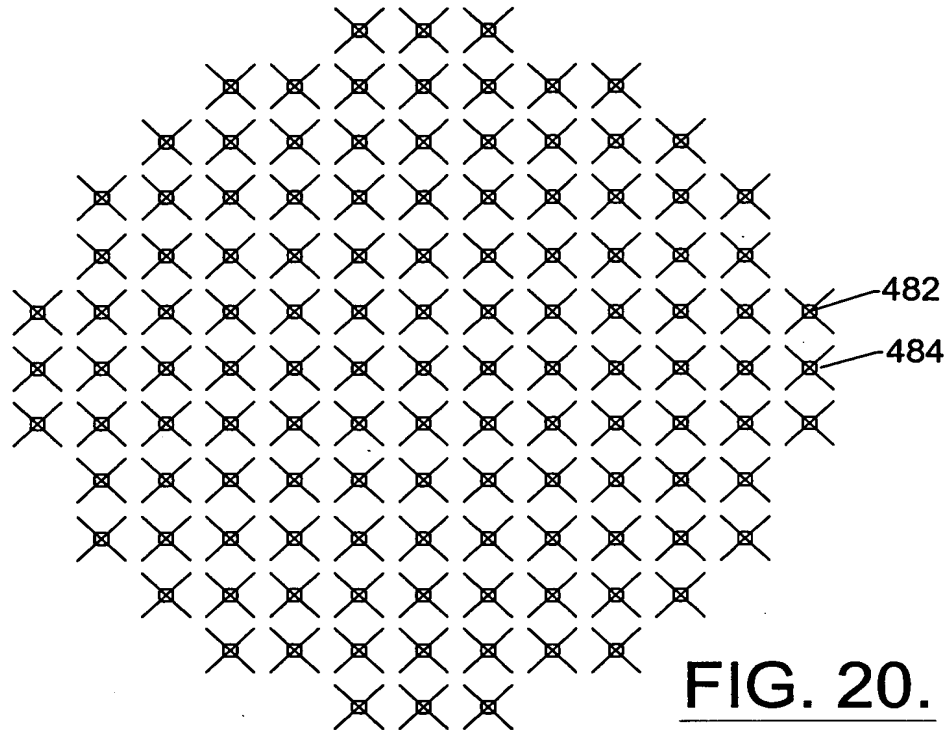
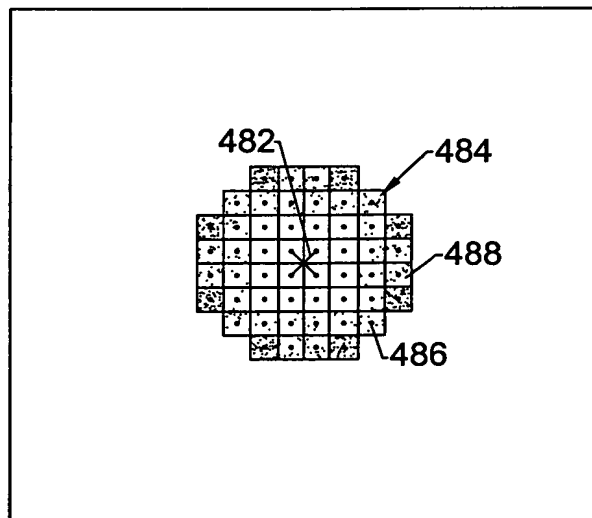


FIG. 21.



09745192.050701

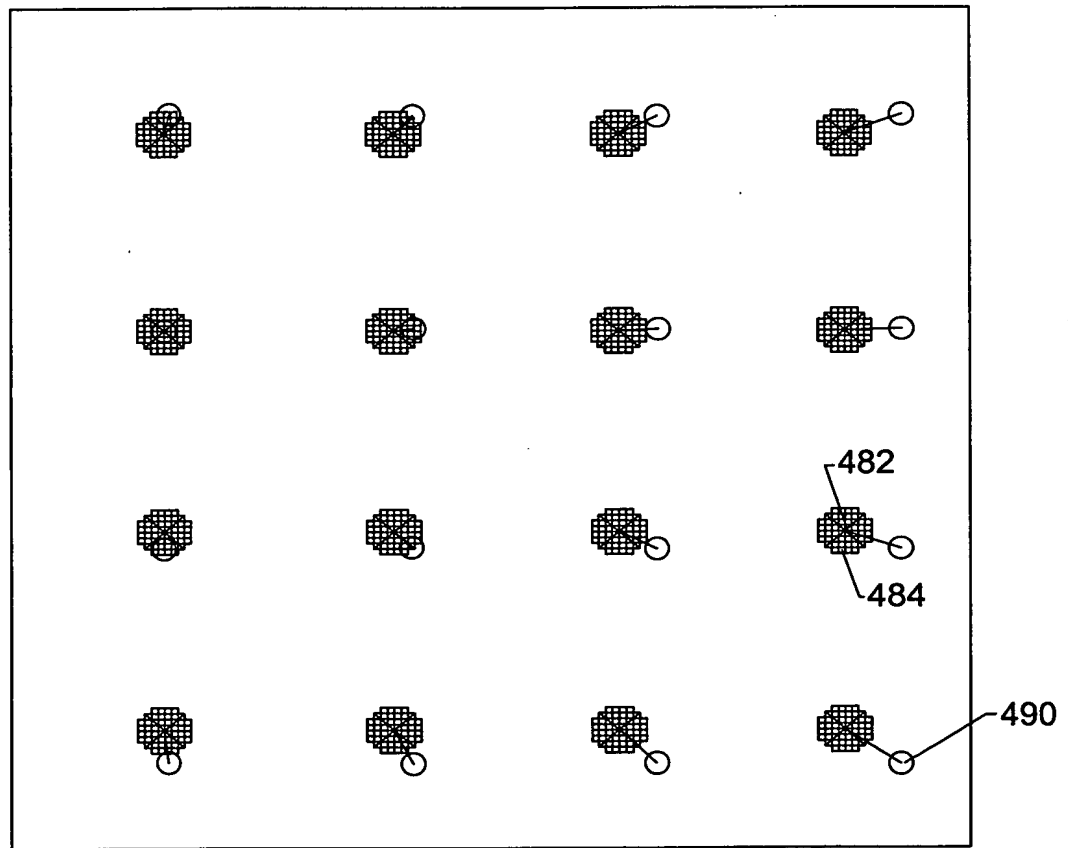


FIG. 22.

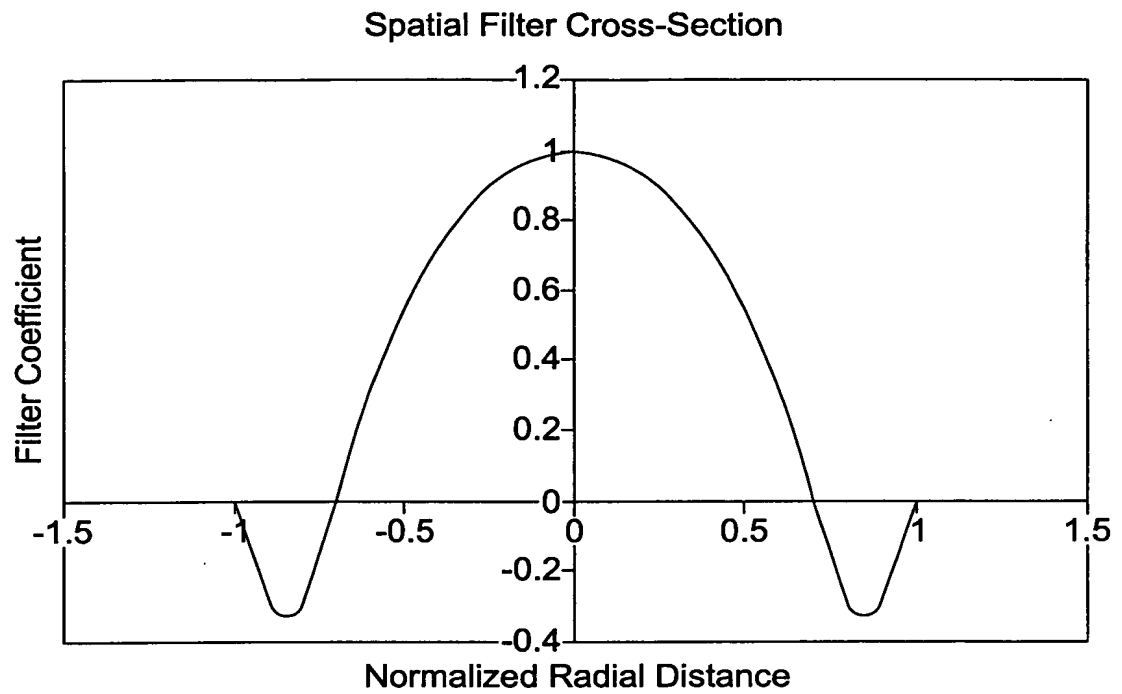


FIG. 23A.

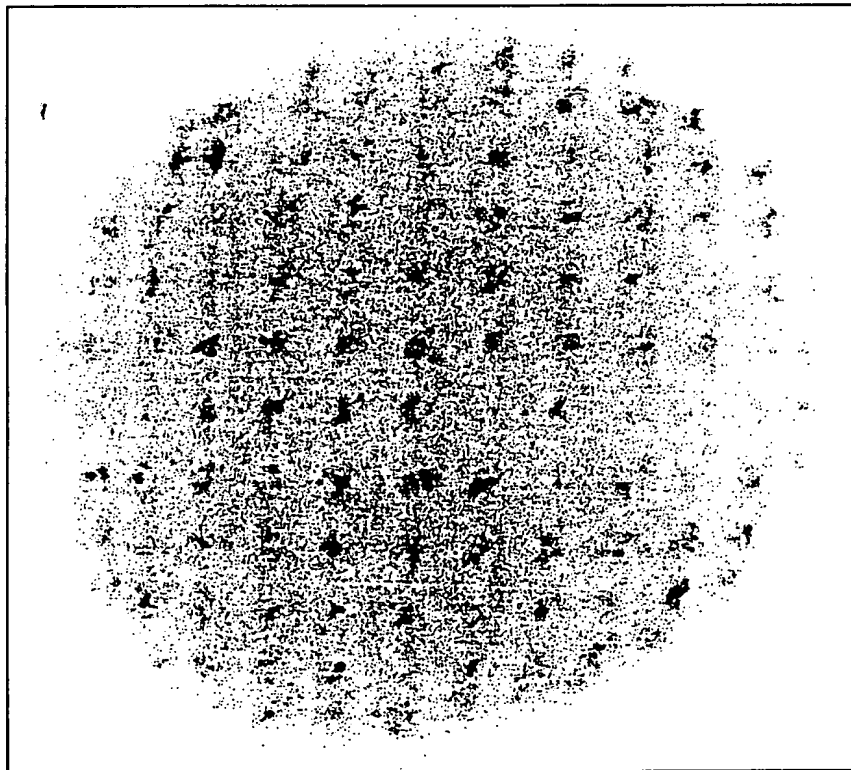
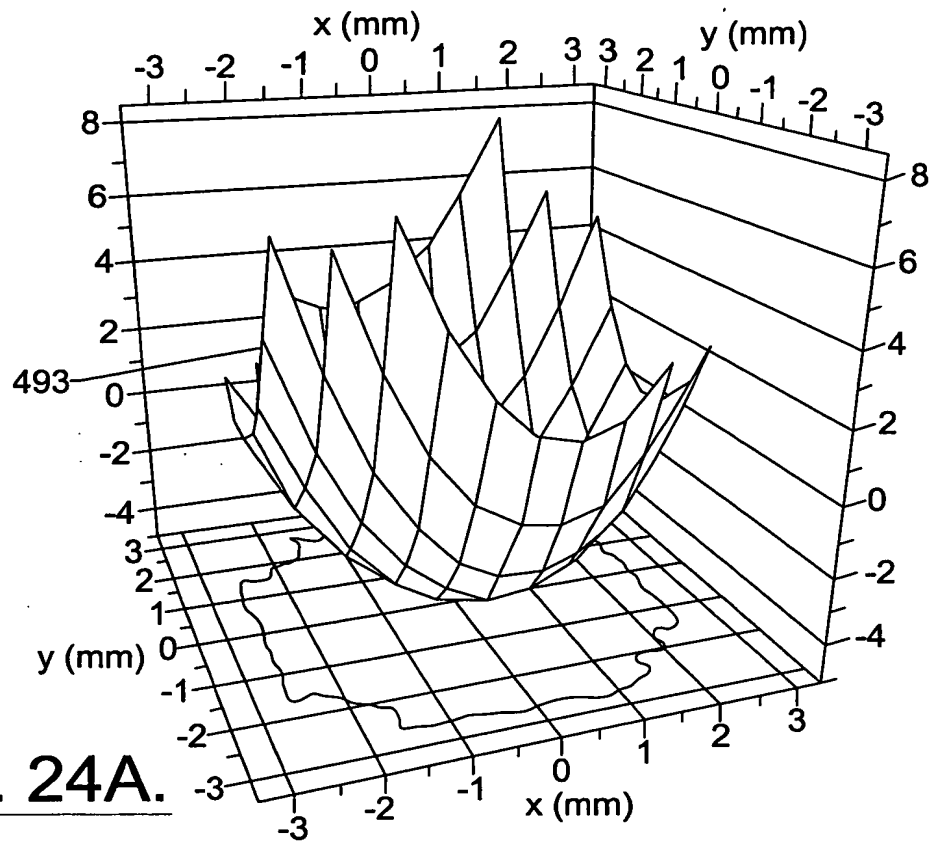
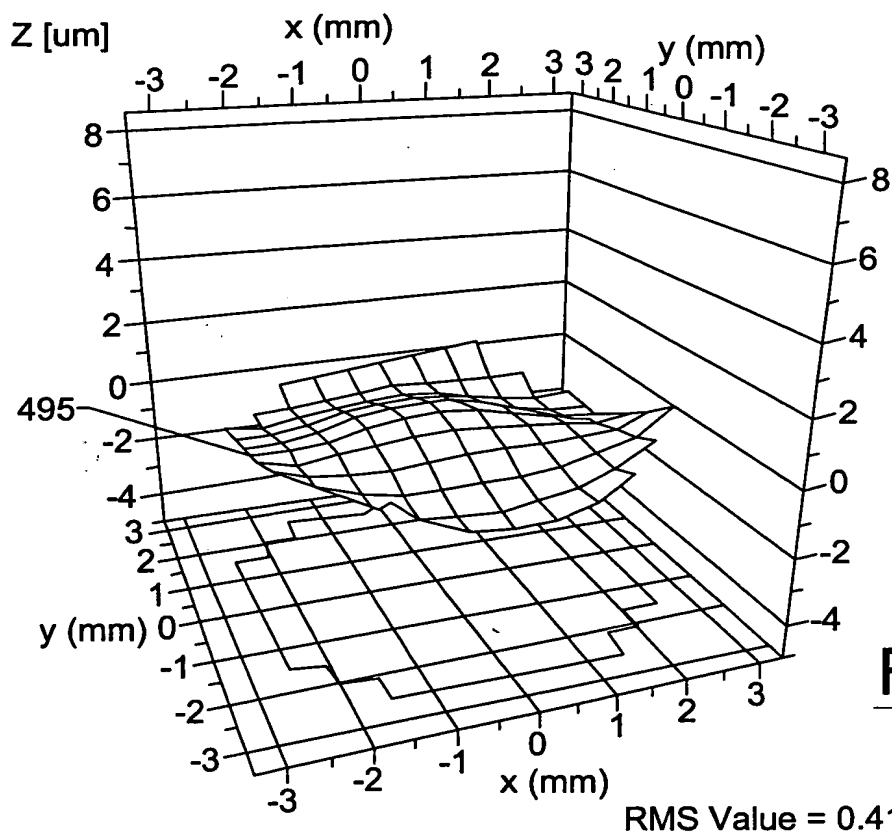
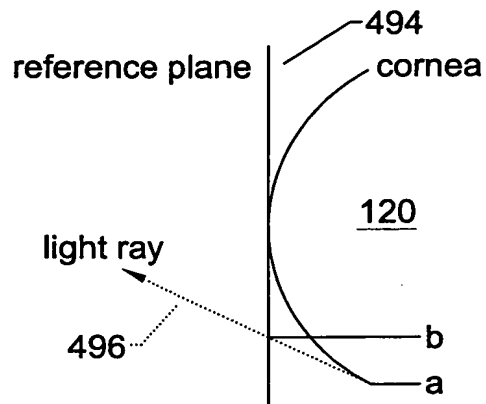


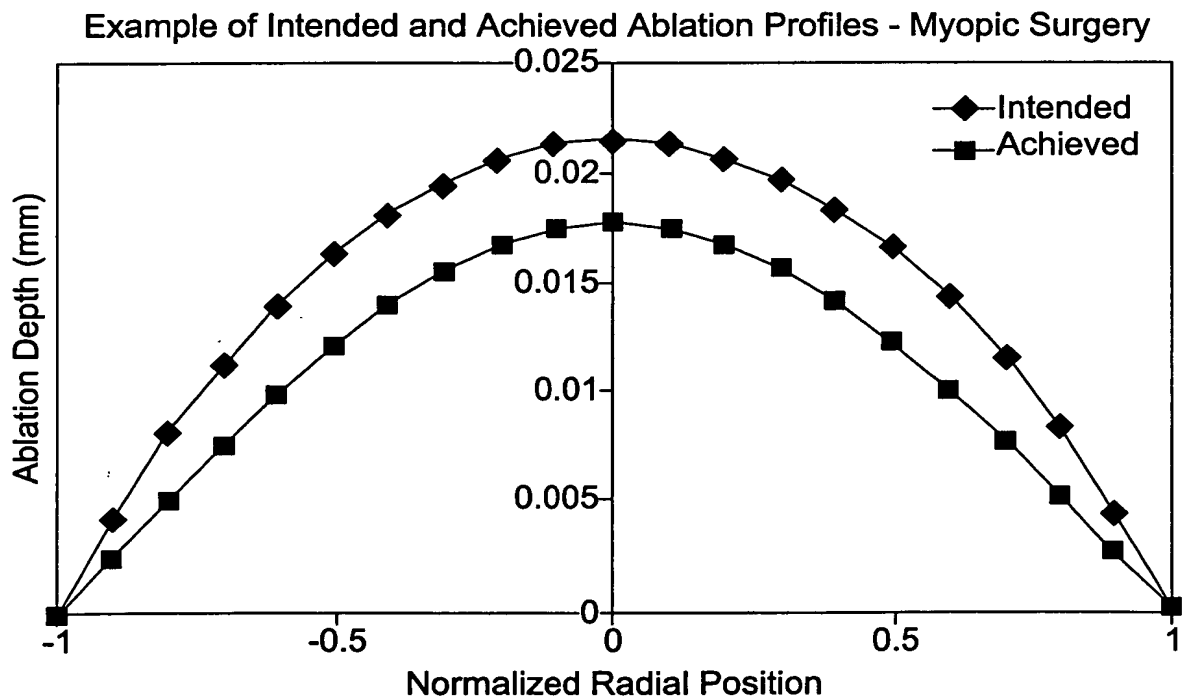
FIG. 23B.

**FIG. 24A.****FIG. 24B.**

RMS Value = 0.419um

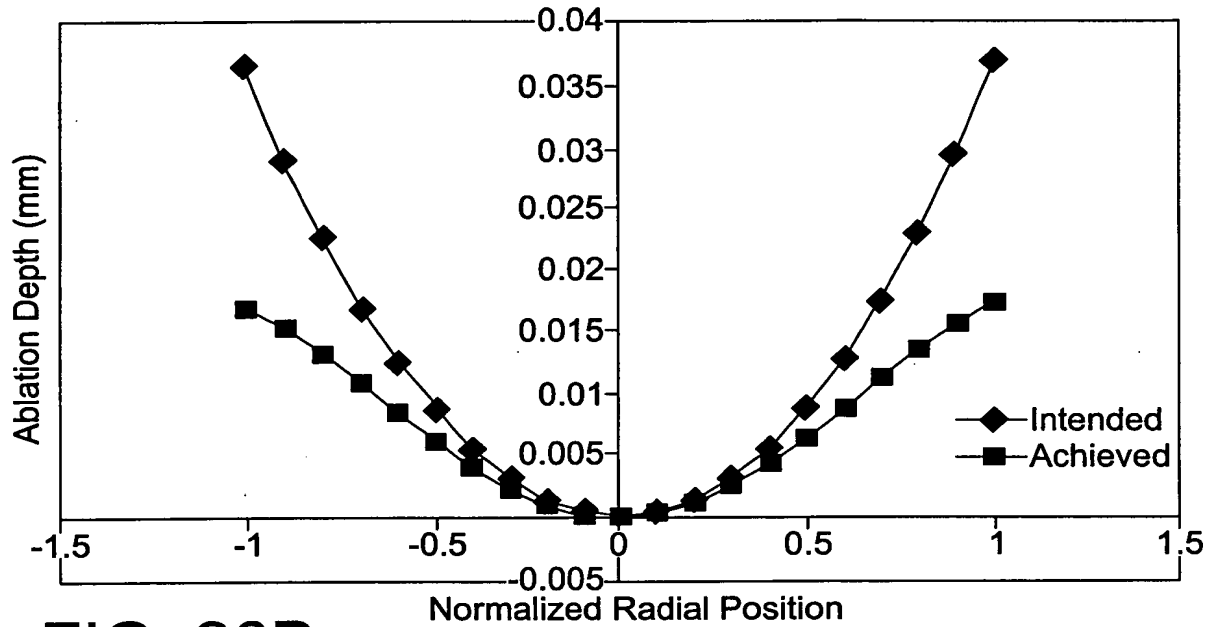


**FIG. 25.**

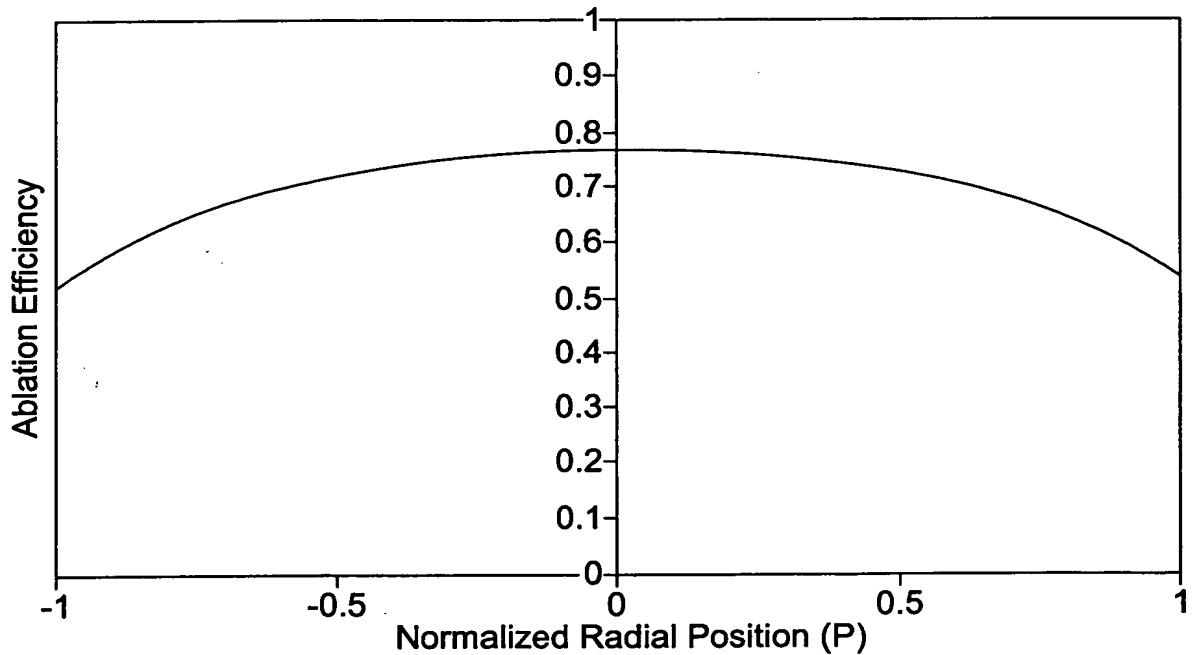


**FIG. 26A.**

Example of Intended and Achieved Ablation Profiles - Hyperopic Surgery

FIG. 26B.

Ablation Efficiency Function

FIG. 26C.



